КТ- И МРТ-ВИЗУАЛИЗАЦИЯ ГОЛОВНОГО МОЗГА

Подход на основе изображений

BRAIN IMAGING WITH MRI AND CT

An Image Pattern Approach

Edited by

Zoran Rumboldt

Professor of Radiology, Neuroradiology Section Chief and Fellowship Program Director, Department of Radiology and Radiological Science, Medical University of South Carolina, Charleston, South Carolina, USA

Mauricio Castillo

Professor of Radiology and Section Chief of Neuroradiology, University of North Carolina School of Medicine, Chapel Hill, North Carolina, USA

Benjamin Huang

Clinical Assistant Professor of Radiology in the Division of Neuroradiology, University of North Carolina School of Medicine, Chapel Hill, North Carolina, USA

Andrea Rossi

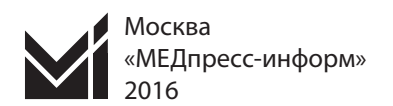
Head of the Department of Neuroradiology, G. Gaslini Children's Research Hospital, Genoa, Italy

КТ- И МРТ-ВИЗУАЛИЗАЦИЯ ГОЛОВНОГО МОЗГА

Подход на основе изображений

Под редакцией
Зорана Румболдта,
Маурисио Кастильо,
Бенджамина Хуанга,
Андрэа Росси

Перевод с английского



УДК 616-073.75:616.831 ББК 53.6 К87

Все права защищены. Никакая часть данной книги не может быть воспроизведена в любой форме и любыми средствами без письменного разрешения владельцев авторских прав.

Авторы и издательство приложили все усилия, чтобы обеспечить точность приведенных в данной книге показаний, побочных реакций, рекомендуемых доз лекарств. Однако эти сведения могут изменяться.

Информация для врачей. Внимательно изучайте сопроводительные инструкции изготовителя по применению лекарственных средств.

Книга предназначена для медицинских работников.

Перевод с английского: Ш.Ш.Шотемор.

КТ- и МРТ-визуализация головного мозга. Подход на основе изображений / под ред. Зорана Румболдта, К87 Маурисио Кастильо, Бенджамина Хуанга, Андрэа Росси; пер. с англ. – М.: МЕДпресс-информ, 2016. – 424 с.: ил.

ISBN 978-5-00030-333-7

Книга построена по принципу руководства по дифференциальной диагностике, в основе ее рубрификации лежат особенности диагностических изображений. Иллюстрации размещены на разворотах слева, справа дается емкое описание наблюдаемой патологии и список для дифференциальной диагностики с указанием страниц, на которых описаны дифференцируемые состояния. В руководстве приведено более 1500 изображений (в основном компьютерных и магнитнорезонансных томограмм) головного мозга, наблюдаемых при более чем 200 заболеваниях. Книга начинается с описания картины двусторонних симметричных поражений и срединных дефектов, так как их легче всего спутать друг с другом, особенно если читатель имеет относительно небольшой опыт.

Издание предназначено для нейрорадиологов, практикующих радиологов общего профиля, неврологов, нейрохирургов, педиатров, студентов медицинских вузов и факультетов.

УДК 616-073.75:616.831 ББК 53.6

ISBN 978-0-521-11944-3 ISBN 978-5-00030-333-7

- © Cambridge University Press 2012
- © Издание на русском языке, перевод на русский язык, оформление, оригинал-макет. Издательство «МЕДпрессинформ», 2016

СОДЕРЖАНИЕ

Раздел 1. Двусторонние, преимущественно симметричные патологические изменения

- 1 Печеночная энцефалопатия 17 Maria Vittoria Spampinato
- 2 Нейрофиброматоз I типа 19 Andrea Rossi
- 3 Интоксикация окисью углерода 21 *Benjamin Huang*
- 4 Нейродегенеративное поражение головного мозга, связанное с пантотенаткиназой (синдром Галлервордена–Шпатца) 23 *Andrea Rossi*
- 5 Интоксикация метиловым спиртом (метанолом) 25 Benjamin Huang
- 6 Болезнь Вильсона 27 Benjamin Huang
- 7 Гипоксически-ишемическая энцефалопатия новорожденных 29 Mariasavina Severino
- 8 Криптококкоз 31 Benjamin Huang
- 9 Ганглиозидоз GM2 33 Mariasavina Severino
- 10 Болезнь Ли 35 Mariasavina Severino
- 11 Тромбоз глубоких вен головного мозга 37 *Benjamin Huang*
- 12 Болезнь Крейтцфельдта–Якоба 39 Benjamin Huang
- 13 Глобальная аноксия зрелого головного мозга 41 Maria Vittoria Spampinato, Zoran Rumboldt
- 14 Энцефалопатия Вернике 43 Giulio Zuccoli
- 15 Боковой амиотрофический склероз 45 Mauricio Castillo
- 16 Глутаровая ацидурия I типа 47 Mariasavina Severino
- 17 Субкортикальная лентовидная гетеротопия 49 *Andrea Rossi*
- 18 Двусторонняя перисильвиева полимикрогирия 51 *Mariasavina Severino*
- 19 Лиссэнцефалия 53 Mariasavina Severino
- 20 Энцефалит, вызванный вирусом простого герпеса 55 *Mauricio Castillo, Zoran Rumboldt*

- 21 Лимбический энцефалит 57 Mauricio Castillo
- 22 Церебральная аутосомно-доминантная артериопатия с субкортикальными инфарктами и лейкоэнцефалопатией 59 Zoran Rumboldt
- 23 Мегалэнцефалическая лейкоэнцефалопатия с субкортикальными кистами 61 Mariasavina Severino
- 24 Болезнь Канавана 63 Andrea Rossi, Chen Hoffmann
- 25 ВИЧ-энцефалопатия 65 Zoran Rumboldt, Mauricio Castillo
- 26 Лейкоэнцефалопатия, вызванная лучевой и химиотерапией 67 Maria Vittoria Spampinato
- 27 Лейкоареоз (микроангиопатия) 69 Alessandro Cianfoni
- 28 Перивентрикулярный отек при острой гидроцефалии 71 Alessandro Cianfoni
- 29 Гипогликемия 73 Benjamin Huang
- 30 X-сцепленная адренолейкодистрофия 75 *Mariasavina Severino*
- 31 Перивентрикулярная лейкомаляция 77 *Alessandro Cianfoni*
- 32 Синдром задней обратимой энцефалопатии (гипертензивная энцефалопатия) 79 Maria Vittoria Spampinato, Zoran Rumboldt
- 33 Болезнь Александера 81 Mariasavina Severino
- 34 Метахроматическая лейкодистрофия 83 Andrea Rossi, Zoran Rumboldt
- 35 Нейродегенеративный лангергансоклеточный гистиоцитоз 85 Zoran Rumboldt, Andrea Rossi
- 36 Кровоизлияния в мозжечок, вызванные отдаленными причинами 87 Maria Gisele Matheus
- 37 Спонтанная внутричерепная гипотензия 89 *Maria Vittoria Spampinato*

Раздел 2. Селлярные, периселлярные и срединные поражения

- 38 Киста кармана Ратке 93 Zoran Rumboldt
- 39 Микроаденома гипофиза 95 Matthew Omojola, Zoran Rumboldt
- 40 Лимфоцитарный гипофизит 97 Zoran Rumboldt, Benjamin Huang

41	Макроаденома гипофиза 99 Matthew Omojola, Zoran Rumboldt	68	Пинеобластома 153 Mauricio Castillo, Zoran Rumboldt
42	Эктопическая задняя доля гипофиза 101 Mauricio Castillo	69	Пинеальная киста 155 Mauricio Castillo
43	Лангергансоклеточный гистиоцитоз 103 Zoran Rumboldt, Andrea Rossi	70	Аневризматическая мальформация вены Галена 157
44	Краниофарингиома 105 Maria Vittoria Spampinato	71	Andrea Rossi Дисгенез мозолистого тела 159
45	Гамартома гипоталамуса 107 Andrea Rossi	72	Maria Gisele Matheus Септооптическая дисплазия 161
46	Глиома зрительных путей 109 Maria Gisele Matheus	73	Mariasavina Severino Голопрозэнцефалия 163
47	Периселлярная менингиома 111 Alessandro Cianfoni	74	Andrea Rossi Атретическое теменное энцефалоцеле 165
48	Гемангиома кавернозного синуса 113 Zoran Rumboldt	75	Maria Gisele Matheus Дермоидная киста 167
49	Синдром Толосы—Ханта 115 Benjamin Huang	76	Benjamin Huang Липома 169
50	Фистула каротидно-кавернозного синуса 117 <i>Zoran Rumboldt</i>	70	Benjamin Huang
51	Периселлярная аневризма 119	Pas	дел 3. Дефекты паренхимы
	Alessandro Cianfoni	ии	зменения объема
52	Хордома 121 Alessandro Cianfoni, Zoran Rumboldt	77	Склероз гиппокампа 173 Alessandro Cianfoni
53	Хондросаркома 123 Zoran Rumboldt	78	Валерианова дегенерация 175 Alessandro Cianfoni
54	Коллоидная киста 125 Alessandro Cianfoni	79	Энцефалит Расмуссена 177 Chen Hoffmann, Zoran Rumboldt
55	Стеноз водопровода 127 Andrea Rossi	80	Хронический инфаркт 179 Alessandro Cianfoni
56	Прогрессирующий надъядерный паралич 129 Alessandro Cianfoni, Zoran Rumboldt	81	Посттравматическая атрофия 181 Benjamin Huang
57	Синдром Жубера 131 Maria Vittoria Spampinato	82	Послеоперационные дефекты 183 Benjamin Huang
58		83	Порэнцефалическая киста 185 Benjamin Huang
59	Мультисистемная атрофия 135 Zoran Rumboldt, Mauricio Castillo	84	Шизэнцефалия 187 Alessandro Cianfoni
60	Болезнь «кленового сиропа» 137 Andrea Rossi	85	Гемимегалэнцефалия 189 Andrea Rossi
61	Мальформация Киари II 139 Mauricio Castillo	86	Синдром Стерджа–Вебера 191 Maria Gisele Matheus
62	Тектальная глиома 141 Maria Gisele Matheus	87	Доброкачественная наружная гидроцефалия 193
63	Глиома ствола головного мозга 143 Donna Roberts	88	Maria Vittoria Spampinato Нормотензивная гидроцефалия 195
64	Кровоизлияние Дюре 145 Mauricio Castillo	89	Alessandro Cianfoni Болезнь Альцгеймера 197
65	Гипертрофическая дегенерация олив 147 Zoran Rumboldt, Benjamin Huang	90	Maria Vittoria Spampinato Лобно-височная лобарная дегенерация 199
66	Осмотический миелинолиз 149		Maria Vittoria Spampinato
67	Mauricio Castillo Герминома 151	91	Болезнь Гентингтона 201 Zoran Rumboldt, Benjamin Huang
U/	Маuricio Castillo, Zoran Rumboldt	92	Врожденные мышечные дистрофии 203 Andrea Rossi

93	Мальформация Денди–Уокера 205 Andrea Rossi	116	Прогрессирующая мультифокальная лейкоэнцефалопатия 253
94	Микроцефалия 207 Mariasavina Severino	117	Zoran Rumboldt Нодулярная гетеротопия 255
95	Гидранэнцефалия 209		Maria Gisele Matheus
06	Andrea Rossi	118	Hейросаркоидоз 257 Zoran Rumboldt
96	Приобретенные внутричерепные грыжи 211 Benjamin Huang	119	Менингеальный карциноматоз 259 Alessandro Cianfoni
Раздел 4. Патологические изменения		120	Менингит инфекционный 261 Mauricio Castillo
	значительного объемного	121	Периневральное распространение опухоли 263
	действия	121	Zoran Rumboldt
97	Тромбоз дуральных венозных синусов 215 Giulio Zuccoli	122	Мойя-мойя 265 Maria Vittoria Spampinato
98	Дуральная артериовенозная фистула 217 Matthew Omojola, Zoran Rumboldt	123	Васкулит центральной нервной системы 267 Giulio Zuccoli
99	Субарахноидальное кровоизлияние 219 Matthew Omojola	124	Подострый инфаркт 269
100	Ламинарный некроз 221 Matthew Omojola	125	Benjamin Huang, Zoran Rumboldt Активный рассеянный склероз 271
101	Нейрокожный меланоз 223 Majda Thurnher	126	Mariasavina Severino Капиллярная телеангиэктазия 273
102	Поверхностный сидероз 225 Mauricio Castillo	127	Alessandro Cianfoni Аномалии развития вен 275
103	Полимикрогирия 227		Giulio Zuccoli
	Maria Vittoria Spampinato	128	Иммуновосстановительный воспалительный синдром 277
104	Изменения, вызванные судорогами (перииктальные изменения MP-картины) 229 <i>Mauricio Castillo</i>		Zoran Rumboldt
		129	Вентрикулит 279
105	Эмболические инфаркты 231		Zoran Rumboldt, Majda Thurnher
100	Benjamin Huang	Раз	дел 5. Первично-экстрааксиальные
106	Фокальная кортикальная дисплазия 233 Zoran Rumboldt, Maria Gisele Matheus		кальные объемные образования
107	Комплекс туберозного склероза 235 Maria Gisele Matheus	130	Арахноидальные грануляции 283 Zoran Rumboldt
108	Дисэмбриопластические нейроэпителиальные опухоли 237	131	Лептоменингеальная киста 285 Benjamin Huang
100	Giovanni Morana	132	Эпидуральная гематома 287 Benjamin Huang
109	Некетонная гипергликемия с гемихореей и гемибаллизмом 239 Zoran Rumboldt	133	Субдуральная гематома 289 Donna Roberts
110	Гиперденсивность после эндоваскулярных вмешательств 241	134	Эмпиема 291 Mauricio Castillo
	Zoran Rumboldt, Benjamin Huang	135	Вторичная (системная) лимфома 293
111	Ранний (сверхострый) инфаркт 243 Benjamin Huang		Zoran Rumboldt
112	Острый рассеянный энцефаломиелит 245 Benjamin Huang	130	136 Идиопатический гипертрофический пахименингит 295 Zoran Rumboldt
113	Синдром Сусака 247 Mauricio Castillo	137	Ольфакторная нейробластома 297 Zoran Rumboldt
114	Диффузное аксональное повреждение 249 Majda Thurnher	138	Менингиома 299 Alessandro Cianfoni, Zoran Rumboldt
115	Pассеянный склероз 251 Matthew Omojola, Zoran Rumboldt	139	Десмопластическая инфантильная ганглиоглиома 301 Giovanni Morana

	Гемангиоперицитома 303 Zoran Rumboldt	164	Митохондриальная миопатия, энцефалопатия, молочнокислый ацидоз и инсультоподобные эпизоды 353
141	Шваннома 305 Giulio Zuccoli		Mauricio Castillo
142	Арахноидальная киста 307 Maria Gisele Matheus	165	Плеоморфная ксантоастроцитома 355 Mauricio Castillo
143	Эпидермоид 309 Maria Gisele Matheus	166	Ганглиоглиома 357 Giovanni Morana, Mauricio Castillo
144	Аневризма 311 Zoran Rumboldt	167	Паренхиматозный нейроцистицеркоз 359 Matthew Omojola
145	Гроздьевидный нейроцистицеркоз 313 Zoran Rumboldt, Mauricio Castillo	168	Расширенные периваскулярные пространства 361 <i>Giovanni Morana</i>
146	Эпендимальная киста 315 Giovanni Morana	169	Нейроэпителиальные кисты 363 Zoran Rumboldt, Benjamin Huang
147	Киста сосудистого сплетения 317 Benjamin Huang	170	Субэпендимальная гигантоклеточная астроцитома 365
148	Папиллома сосудистого сплетения 319 Andrea Rossi	171	Andrea Rossi
149	Внутрижелудочковая менингиома 321 Zoran Rumboldt		Субэпендимома 367 Zoran Rumboldt
150	Центральная нейроцитома 323 Mauricio Castillo	172	Эпендимома 369 Donna Roberts
151	Дивертикулы желудочков 325 Zoran Rumboldt	173	Пилоцитарная астроцитома 371 Donna Roberts
Paa		174	Медуллобластома 373 Donna Roberts, Zoran Rumboldt
	дел 6. Первичные интрааксиальные разования	175	Гемангиобластома 375 Zoran Rumboldt, Maria Gisele Matheus
152	Острый инфаркт 329 Majda Thurnher	176	Болезнь Лермитта–Дюкло (синдром Коуден) 377
153	Мультиформная глиобластома 331 Zoran Rumboldt, Majda Thurnher	177	Mauricio Castillo Гипертензионная гематома 379
154	Ятрогенный (радиационный) церебральный некроз 333		Zoran Rumboldt
155	Maria Vittoria Spampinato, Zoran Rumboldt Негеморрагические метастазы 335	1/8	Амилоидное кровоизлияние – церебральная амилоидная ангиопатия 381 <i>Zoran Rumboldt</i>
	Maria Gisele Matheus	179	Кортикальная контузия 383
156	Абсцесс головного мозга 337 Maria Gisele Matheus	180	Benjamin Huang Геморрагические новообразования 385
157	Токсоплазмоз головного мозга 339 Benjamin Huang		Benjamin Huang
158	Первичная лимфома центральной нервной системы 341		Геморрагический венозный тромбоз 387 Mauricio Castillo, Benjamin Huang
	Alessandro Cianfoni, Zoran Rumboldt	182	Артериовенозная мальформация 389 Zoran Rumboldt
159	Опухолеподобные демиелинизирующие поражения 343 Zoran Rumboldt	183	Кавернозная ангиома 391 Giulio Zuccoli, Zoran Rumboldt
160	Туберкулема 345 Mauricio Castillo		дел 7. Внутричерепные
161	Олигодендроглиома 347		ІЗВЕСТВЛЕНИЯ Врожденная цитомегаловирусная
162	Maria Vittoria Spampinato Высокодифференцированная диффузная астроцитома 349		инфекция 395 Zoran Rumboldt, Chen Hoffmann
162	Donna Roberts, Benjamin Huang	185	Врожденный токсоплазмоз 397 Chen Hoffmann
103	Глиоматоз головного мозга 351		

Mauricio Castillo

- 186 Синдром Айкарди–Гутьер 399 Andrea Rossi
- 187 Физиологические обызвествления базальных ганглиев 401

 Benjamin Huang
- 188 Гиперпаратиреоз 403 *Benjamin Huang*
- 189 Менингоангиоматоз 405 Giovanni Morana
- 190 Обызвествления сосудистой стенки 407 Benjamin Huang
- 191 Дистрофические обызвествления 409 Benjamin Huang
- 192 Обызвествленные аневризмы 411 Zoran Rumboldt
- 193 Сосудистые мальформации 411 Zoran Rumboldt
- 194 Цистицеркоз 413 *Matthew Omojola*
- 195 Обызвествленные метастазы 413 *Benjamin Huang*

- 196 Ганглиоглиома 415 *Mauricio Castillo*
- 197 Олигодендроглиома 415 Zoran Rumboldt
- 198 Кортикальные бугорки (туберы) при туберозном склерозе 417
 Zoran Rumboldt
- 199 Субэпендимальные узлы при туберозном склерозе 417 Zoran Rumboldt
- 200 Эпендимома 419 *Zoran Rumboldt*
- 201 Липома с обызвествлением 419 Benjamin Huang
- 202 Краниофарингиома 421 Maria Vittoria Spampinato
- 203 Менингиома 421 Alessandro Cianfoni
- 204 Тефлоновая гранулема 423 Zoran Rumboldt

АВТОРЫ

Mauricio Castillo

Professor of Radiology and Section Chief, Neuroradiology, University of North Carolina School of Medicine, Chapel Hill, NC, USA

Alessandro Cianfoni

Associate Professor, Neuroradiology, Image Guided Spinal Procedures, Department of Radiology and Radiological Science, Charleston, SC, USA, and Neuroradiology Section Chief Neurocenter of Southern Switzerland Lugano, Switzerland

Chen Hoffmann

Sheba Medical Center, Tel Hashomer, Sakler School of Medicine, Tel Aviv University, Tel Aviv, Israel

Benjamin Huang

Clinical Assistant Professor of Radiology, Division of Neuroradiology, University of North Carolina School of Medicine, Chapel Hill, NC, USA

Maria Gisele Matheus

Assistant Professor, Neuroradiology, Department of Radiology and Radiological Science, Charleston, SC, USA

Giovanni Morana

Department of Pediatric Neuroradiology, G. Gaslini Children's Research Hospital, Genoa, Italy

Matthew Omojola

Professor, Section of Neuroradiology, Department of Radiology, University of Nebraska Medical Center, Omaha, NE, USA

Donna Roberts

Assistant Professor, Neuroradiology, Department of Radiology and Radiological Science, Charleston, SC, USA

Andrea Rossi

Head of the Department of Neuroradiology, G. Gaslini Children's Research Hospital, Genoa, Italy

Zoran Rumboldt

Professor of Radiology, Neuroradiology Section Chief and Fellowship Program Director, Department of Radiology and Radiological Science, Medical University of South Carolina, Charleston, South Carolina, USA

Mariasavina Severino

Department of Pediatric Neuroradiology, G. Gaslini Children's Research Hospital, Genoa, Italy

Maria Vittoria Spampinato

Associate Professor, Neuroradiology, Department of Radiology and Radiological Science, Charleston, SC, USA

Majda Thurnher

Associate Professor of Radiology, Medical University of Vienna, Vienna, Austria

Giulio Zuccoli

Section Chief of Neuroradiology, Children's Hospital of Pittsburgh at the University of Pittsburgh Medical Center, Pittsburgh, PA, USA

ПРЕДИСЛОВИЕ

Эта книга основывается на вопросах и предложениях от ординаторов-радиологов и коллег-нейрорадиологов, особенно только начинающих практическую деятельность, а также на моем интересе к написанию книг. Уже имеется несколько книг, написанных не как обычные учебники, а базирующихся на принципе дифференциальной диагностики. Однако новым в этой книге является подход к делению заболеваний на группы на основе исключительно одних изображений и визуализационных находок.

Цель книги – использование в реальной клинической практике, как и при широких исследованиях, не только нейрорадиологами, но, возможно, еще в большей степени практикующими радиологами общего профиля, невропатологами, нейрохирургами, педиатрами и врачами других специальностей. Книга начинается с описания картины двусторонних симметричных поражений и срединных поражений, так как их легче всего спутать друг с другом, особенно если читатель имеет относительно небольшой опыт.

Оформление издания стандартное: изображения на левой стороне разворота, текст справа, и я несу личную ответственность за подготовку и распределение более 1500 изображений. Мы пытались иллюстрировать каждую нозологическую единицу изображениями по крайней мере двух пациентов и только в немногих случаях ограничились изображениями одного, в то время как часто приводятся изображения трех и более пациентов. Текст компактный и разделен на маленькие фрагменты, подчеркивая отличительные черты – и визуализационные, и клинические – в связи с другими сходными случаями в разделах дифференциального диагноза.

Книгу можно использовать различным образом: сравнивая описанных в ней пациентов с текущими клиническими наблюдениями; при поисках характеристик определенных заболеваний или нормальных вариантов, для «перепрыгива-

ния» от одного случая к другому через разделы, посвященные дифференциальной диагностике; как текст (на правой стороне разворотов) и даже как систематический учебник от «A» до «S».

Однако цель этой книги – не заменить учебник, она скорее должна рассматриваться как дополнительное руководство. Эта попытка подхода, основанного на особенностях визуализационной картины, не совершенна и наверняка не всеобъемлюща. Остались заболевания, не включенные в книгу в виде отдельных наблюдений (например, болезнь Краббе, зрительный нейромиелит и лакунарные инфаркты). Однако они перечислены и коротко описаны в разделах, посвященных дифференциальной диагностике. Основанием для этого служило создание книги приемлемого объема, которая более детально охватывала бы большинство частых заболеваний и(или) заболеваний с характерной визуализационной картиной. Есть предел, при достижении которого добавление новых наблюдений и изображений, иллюстрирующих текст, приходится прекратить.

Я хотел бы поблагодарить всех авторов, особенно моих соиздателей и друзей Mauricio, Ben и Andrea. Также хочу выразить признательность коллегам со всего мира, которые представили свои отличные наблюдения: Angelika Gutenberg, Chung-Ping Lo, Pranshu Sharma, Se Jeong Jeon, Yasuhiro Nakata и Zoltán Patay. Я хотел бы поблагодарить всех в издательстве Кембриджского университета, давшем мне возможность опубликовать книгу, которую я мечтал написать в течение многих лет.

Наконец, особая благодарность моим родителям Mirjana и Zvonko за их постоянную поддержку и содействие академической активности, а также моей жене Tihana и дочерям Rita, Frida и Zora за их терпение и понимание.

Zoran Rumboldt

РАЗДЕЛ 1

Двусторонние, преимущественно симметричные патологические изменения

Наблюдения

- 1 Печеночная энцефалопатия Maria Vittoria Spampinato
- 2 Нейрофиброматоз I типа Andrea Rossi
- 3 Интоксикация окисью углерода Benjamin Huang
- 4 Нейродегенеративное поражение головного мозга, связанное с пантотенаткиназой (синдром Галлервордена–Шпатца) Andrea Rossi
- 5 Интоксикация метиловым спиртом (метанолом) Benjamin Huang
- 6 Болезнь Вильсона Benjamin Huang
- 7 Гипоксически-ишемическая энцефалопатия новорожденных Mariasavina Severino
- 8 Криптококкоз Benjamin Huang
- 9 Ганглиозидоз GM2 *Mariasavina Severino*
- 10 Болезнь Ли Mariasavina Severino
- 11 Тромбоз глубоких вен головного мозга Benjamin Huang
- 12 Болезнь Крейтцфельдта—Якоба *Benjamin Huang*
- 13 Глобальная аноксия зрелого головного мозга Maria Vittoria Spampinato, Zoran Rumboldt
- 14 Энцефалопатия Вернике Giulio Zuccoli
- 15 Боковой амиотрофический склероз Mauricio Castillo
- 16 Глутаровая ацидурия I типа Mariasavina Severino
- 17 Субкортикальная лентовидная гетеротопия Andrea Rossi
- 18 Двусторонняя перисильвиева полимикрогирия Mariasavina Severino
- 19 Лиссэнцефалия Mariasavina Severino
- 20 Энцефалит, вызванный вирусом простого герпеса
 - Mauricio Castillo, Zoran Rumboldt
- 21 Лимбический энцефалит Mauricio Castillo
- 22 Церебральная аутосомно-доминантная артериопатия с субкортикальными инфарктами и лейкоэнцефалопатией Zoran Rumboldt
- 23 Мегалэнцефалическая лейкоэнцефалопатия с субкортикальными кистами Mariasavina Severino

- 24 Болезнь Канавана Andrea Rossi, Chen Hoffmann
- 25 ВИЧ-энцефалопатия Zoran Rumboldt, Mauricio Castillo
- 26 Лейкоэнцефалопатия, вызванная лучевой и химиотерапией Maria Vittoria Spampinato
- 27 Лейкоареоз (микроангиопатия) Alessandro Cianfoni
- 28 Перивентрикулярный отек при острой гидроцефалии Alessandro Cianfoni
- 29 Гипогликемия Benjamin Huang
- 30 X-сцепленная адренолейкодистрофия Mariasavina Severino
- 31 Перивентрикулярная лейкомаляция Alessandro Cianfoni
- 32 Синдром задней обратимой энцефалопатии (гипертензивная энцефалопатия)

 Maria Vittoria Spampinato, Zoran Rumboldt
- 33 Болезнь Александера Mariasavina Severino
- 34 Метахроматическая лейкодистрофия Andrea Rossi, Zoran Rumboldt
- 35 Нейродегенеративный лангергансоклеточный гистиоцитоз

 Zoran Rumboldt, Andrea Rossi
- 36 Кровоизлияния в мозжечок, вызванные отдаленными причинами Maria Gisele Matheus
- 37 Спонтанная внутричерепная гипотензия Maria Vittoria Spampinato

Другие примыкающие к этой группе случаи

- 59 Мультисистемная атрофия Zoran Rumboldt, Mauricio Castillo
- 60 Болезнь «кленового сиропа» Andrea Rossi
- 66 Осмотический миелинолиз Mauricio Castillo
- 87 Доброкачественная наружная гидроцефалия Maria Vittoria Spampinato
- 88 Нормотензивная гидроцефалия Alessandro Cianfoni
- 89 Болезнь Альцгеймера Maria Vittoria Spampinato
- 90 Лобно-височная лобарная дегенерация Maria Vittoria Spampinato
- 91 Болезнь Гентингтона Zoran Rumboldt, Benjamin Huang
- 184 Врожденная цитомегаловирусная инфекция Zoran Rumboldt, Chen Hoffmann

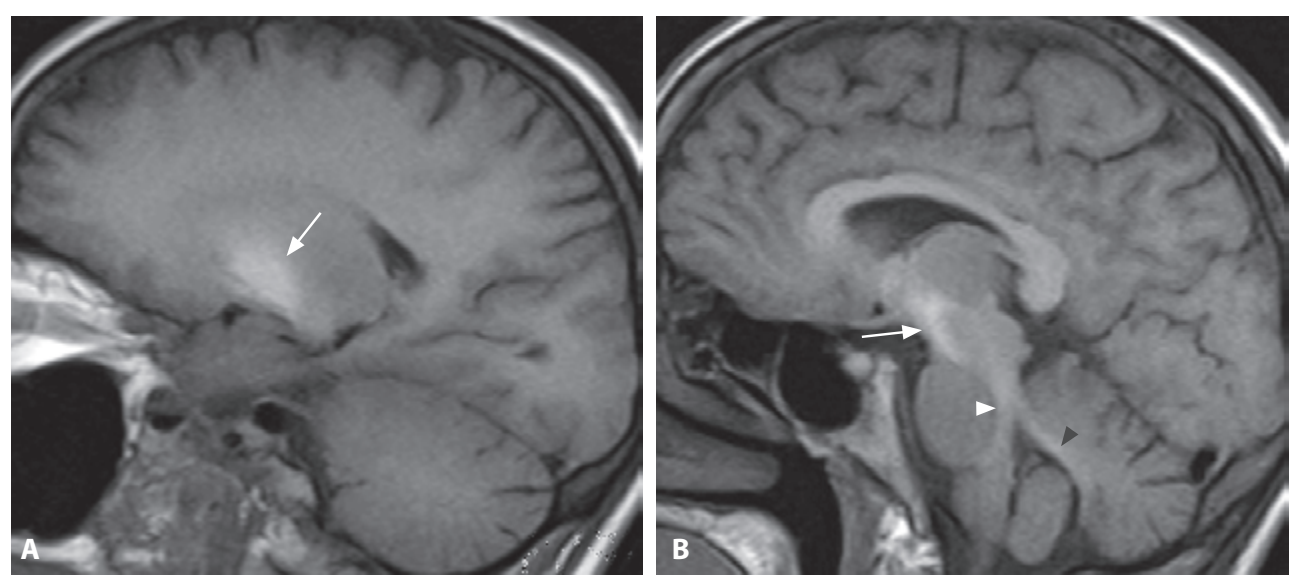


Рис. 1. Сагиттальное Т1в-изображение без контрастирования (A): гиперинтенсивность бледного шара (*стрелка*). Более медиальный сагиттальный Т1в-срез (B): повышенный сигнал черной субстанции (*стрелка*), дорсальной части ствола мозга (*белая головка стрелки*) и мозжечка (*черная головка стрелки*).

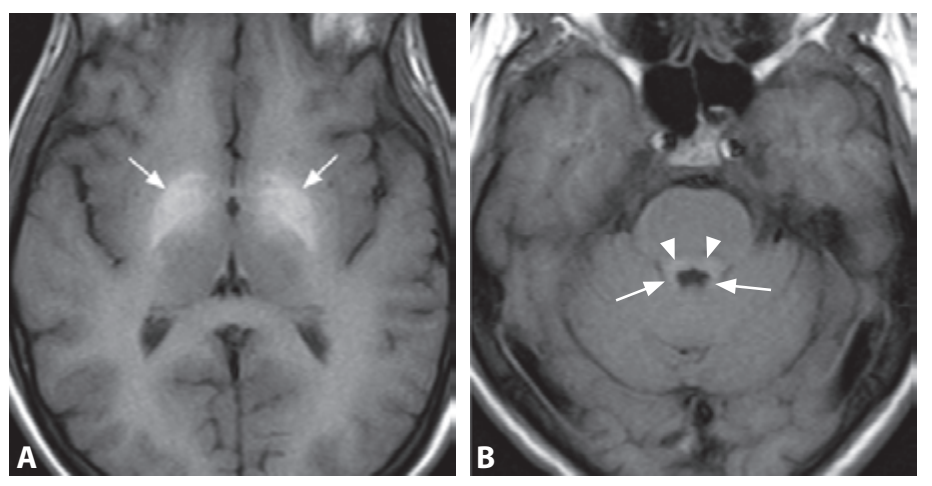


Рис. 2. Аксиальное Т1в-изображение без контрастирования на уровне базальных ганглиев (А): яркое изображение бледных шаров с обеих сторон. Аксиальное Т1в-изображение на уровне моста (В): гиперинтенсивность верхних ножек мозжечка (стрелки) и покрышки среднего мозга (головки стрелок).

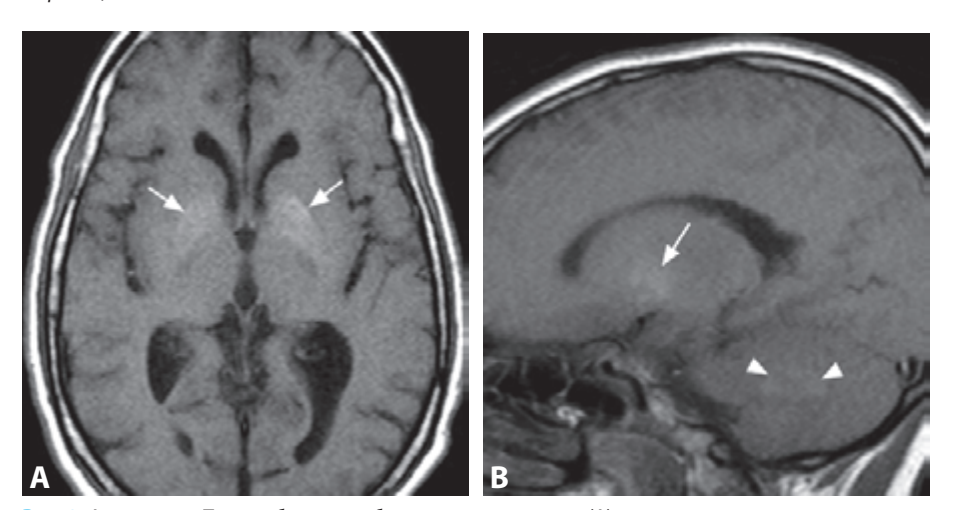


Рис. 3. Аксиальное Т1в-изображение без контрастирования (A): менее яркая гиперинтенсивность обоих бледных шаров (*стрелки*). Сагиттальное Т1в-изображение (B): сигнал повышенной интенсивности бледного шара (*стрелка*) и, кроме того, в области зубчатого ядра мозжечка (*головки стрелок*).

Печеночная энцефалопатия магіа VITTORIA SPAMPINATO

Специфические находки в изображениях

Классические изменения при магнитно-резонансной томографии (МРТ) головного мозга у пациентов с печеночной энцефалопатией - двусторонние симметричные гиперинтенсивные очаги в бледных шарах в Т1в-изображениях. В более выраженных случаях интенсивный Т1-сигнал имеется также в черной субстанции, субталамических ядрах, покрышке среднего мозга и зубчатых ядрах мозжечка без соответствующих изменений в Т2в-изображениях или при компьютерной томографии (КТ). Дополнительные изменения выявляются в Т2визображениях при МРТ и включают диффузную гиперинтенсивность белого вещества, преимущественно кортико-спинальных трактов (КСТ) больших полушарий головного мозга, и яркие очаговые изменения в подкорковом белом веществе больших полушарий. Магнитно-резонансная спектроскопия (МРС), полученная с коротким временем эха (ТЕ), показывает уменьшение мио-инозитола. Соотношение мио-инозитол/креатин уменьшается не только у пациентов с циррозом печени и клинически проявляющейся или субклинической энцефалопатией, но также у лиц без энцефалопатии. Наблюдался также повышенный уровень глутамина и глутамата, особенно в тяжелых случаях. Все эти изменения при МРТ – яркие очаги поражения в Т1в-изображениях, гиперинтенсивность белого вещества в Т2в-изображениях и изменения при МРС – имеют тенденцию улучшаться и нормализовываться с восстановлением функции печени после ее трансплантации. Характерная МР-картина острой гипераммониемической энцефалопатии (двусторонние симметричные Т2в-гиперинтенсивные поражения коры, вовлекающие островки и опоясывающие извилины) лучше всего видна при FLAIR (импульсной последовательности инверсия-восстановление с ослаблением сигнала от жидкости) и в диффузионно-взвешенных изображениях (ДВИ).

Клинические сведения

Печеночная энцефалопатия включает неврологические и психиатрические нарушения, появляющиеся у пациентов с нарушенной функцией печени. Большинство случаев сопровождает цирроз и портальная гипертензия или портокавальные шунты. Это обратимая метаболическая энцефалопатия, характеризующаяся изменениями личности и уменьшением объема внимания, тревожным состоянием и депрессией, нарушением координации движений и тремором в руках. В тяжелых случаях может наступить кома и смерть. Тяжелые формы печеночной энцефалопатии обычно диагностируются клинически, однако легкие случаи иногда трудно распознать даже с помощью нейропсихологических тестов.

Дифференциальный диагноз

Интоксикация марганцем

 неотличимые гиперинтенсивные изменения в Т1в-изображениях (предположительно та же самая патофизиология)

Длительное парентеральное питание

- неотличимые гиперинтенсивные изменения в Т1в-изображениях (предположительно та же самая патофизиология)
- изменения исчезают, когда из питательного раствора устраняется марганец

Физиологические обызвествления базальных ганглиев (187)

- обычно точечные и пятнистые, но не диффузные
- обызвествление при КТ

Нейрофиброматоз І типа (2)

- обычно пятнистые, не диффузные
- дополнительные области поражения

Интоксикация окисью углерода (3)

 яркий Т2-сигнал и уменьшенная диффузия в обоих бледных шарах

Гипоксически-ишемическая энцефалопатия (7)

- яркий Т1-сигнал вокруг задней ножки внутренней капсулы (таламус, скорлупа, бледный шар)
- возникает у новорожденных

«Ядерная» желтуха

- повышенный Т1- и Т2-сигнал бледных шаров
- возникает у новорожденных

Фон

Печеночная энцефалопатия (или портокавальная энцефалопатия) обусловлена неадекватным устранением печенью соединений азота и других токсинов, попавших с пищей в желудочно-кишечный тракт или образовавшихся в нем. Недостаточность печеночной системы обезвреживания токсинов является результатом нарушения функции печени или чрезмерного шунтирования крови, оттекающей из внутренних органов прямо в системный кровоток через портокавальные коллатеральные сосуды. Факторы, провоцирующие развитие печеночной энцефалопатии у пациентов с хроническим поражением печеночных клеток, включают пищевую нагрузку белком, запор и желудочно-кишечные кровотечения. В результате центральная нервная система (ЦНС) подвергается воздействию токсических веществ (например, аммония, марганца и меркаптанов). Такая последовательность событий ведет к развитию печеночной энцефалопатии. Нейротоксическое действие аммония опосредуется его эффектами на систему нейротрансмиттеров и энергетический метаболизм в головном мозге. Находки в Т1в-изображениях объясняются накоплением марганца, сывороточная концентрация которого повышена по сравнению с нормальными лицами. Накопление марганца может вести к паркинсонизму, особенно при вовлечении в процесс черной субстанции. Гиперинтенсивность белого вещества в Т2в-изображениях, как полагают, обусловлена легким отеком мозга, а очаговые поражения относят за счет спонгиозной дегенерации глубоких слоев коры головного мозга и подлежащих U-образных волокон.

ЛИТЕРАТУРА

- 1. Rovira A, Alonso J, Cordoba J. MR imaging findings in hepatic encephalopathy. *AJNR* 2008;29:1612–21.
- 2. Spampinato MY, Castillo M, Rojas R, *et al.* Magnetic resonance imaging findings in substance abuse: alcohol and alcoholism and syndromes associated with alcohol abuse. *Top Magti Reson Imaging* 2005;16:223–30.
- 3. Miese R Kircheis G, Wittsack HJ, *et al.* 1H-MR spectroscopy, magnetization transfer, and diffusion-weighted imaging in alcoholic and nonalcoholic patients with cirrhosis with hepatic encephalopathy. *AJNR* 2006;27:1019–26.
- 4. Matsusue E, Kinoshita T, Ohama E, Ogawa T. Cerebral cortical and white matter lesions in chronic hepatic encephalopathy: MR-pathologic correlations. *AJNR* 2005;26:347–51.
- 5. U-King-Im JM, Yu E, Bartlett E, *et al.* Acute hyperammonemic encephalopathy in adults: imaging findings. *AJNR* 2011;32:413–8.

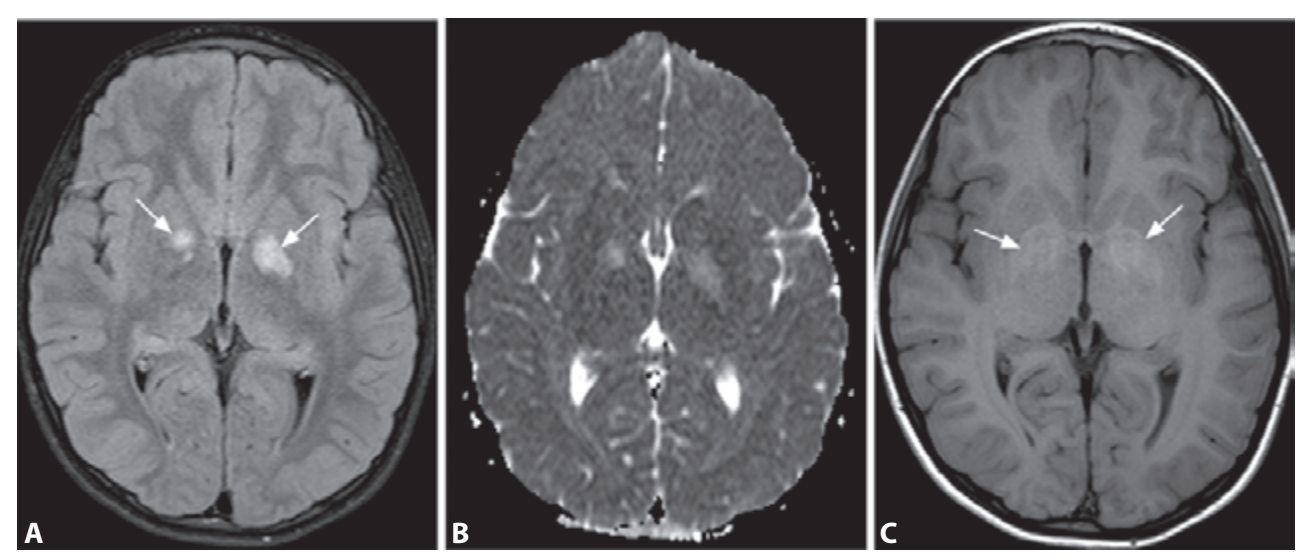


Рис. 1. Аксиальное FLAIR-изображение (A): двусторонние яркие очаги (*стрелки*) в бледных шарах, а также повышенная диффузия на карте ADC (B) и легкая гиперинтенсивность (*стрелки*) в Т1в-изображении (C) в тех же местах.

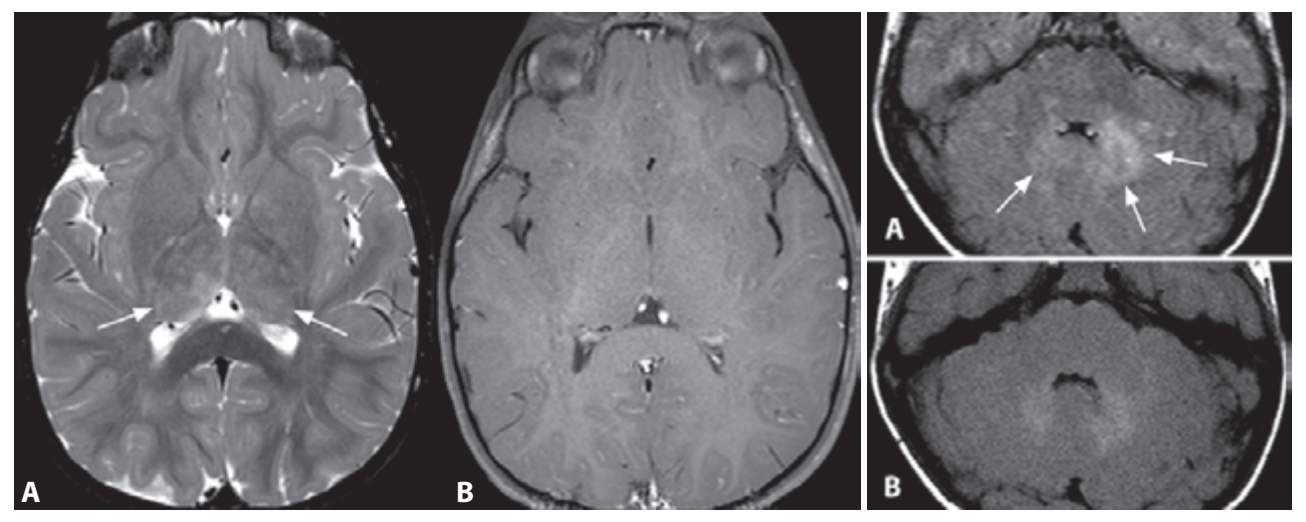


Рис. 2. Т2в-изображение другого пациента (A): множественные гиперинтенсивные фокусы Рис. 3. Яркие фокусы в медиальном мозжечке (стрелки) в таламусах, не усилившиеся после контрастирования в Т1в-изображении (B). (стрелки) в FLAIR- (A) и Т1в-изображении (В).

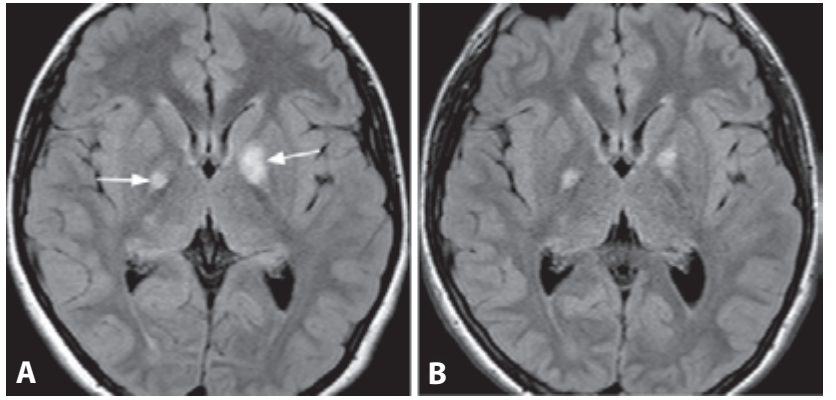


Рис. 4. Аксиальное FLAIR-изображение на уровне базальных ганглиев у пациента в возрасте 10 лет (А): двусторонние пятнистые гиперинтенсивные изменения главным образом в бледных шарах (стрелки). FLAIR-изображение на том же уровне через 3 года (В): спонтанная регрессия этих изменений.

Специфические находки в изображениях

Роль диагностической визуализации в оценке болезни Альцгеймера (БА) заключается в том, чтобы исключить и распознать ранние случаи БА, при которых лечение может оказаться эффективным. Морфометрия и измерения метаболизма медиальных височных областей являются лучшими биомаркерами для ранней диагностики. У пациентов с соответствующими клиническими проявлениями диагностическая точность МРТ при БА составляет примерно 87%. Типичные МР-находки включают потерю височного и теменного объема коры со значительно выраженной атрофией гиппокампов. Наклонные фронтальные изображения перпендикулярно длинной оси гиппокампа лучше всего показывают атрофию гиппокампов и парагиппокампальных извилин с увеличением парагиппокампальных борозд.

Находки при ПЭТ с ФДГ при БА включают уменьшенный захват глюкозы в височных и теменных долях с щажением затылочных и лобных долей, в то время как задняя часть опоясывающей извилины обычно поражается первой. ПЭТ с ФДГ помогает дифференцировать БА от других форм деменции, таких как сосудистая и лобно-височная деменция, хотя развитая болезнь Паркинсона может проявляться регионарными изменениями метаболизма, неотличимыми от БА.

Клинические сведения

Диагноз БА основывается на критериях Национального института неврологических и коммуникативных расстройств и инсульта – Ассоциации БА и примыкающей патологии. Эти критерии подразумевают постепенное начало и прогрессирование нарушений памяти; дефицит памяти на недавние события в ранних стадиях; нарушения ориентации, суждений, принятия решений и способности к самообслуживанию в быту присоединяются позже. Чувствительность клинических критериев диагноза деменции любого типа превышает 90%, но их специфичность в диагностике самой БА составляет менее 70%. Когнитивные функции измеряются посредством клинических и психометрических тестов, включая краткую шкалу оценки психического статуса (MMSE) и клинический рейтинг деменции (CDR). Другие нейродегенеративные процессы, ведущие к деменции, также показывают сходное снижение когнитивных функций и могут имитировать БА при использовании одних только клинических критериев. Поэтому нейровизуализации отдается повышенное значение.

Дифференциальный диагноз

Лобно-височная деменция (90)

 снижение метаболизма и потеря объема мозга в лобных и передних височных областях

Кортико-базальная дегенерация

 снижение метаболизма в базальных ганглиях и лобно-теменных областях

Сосудистая деменция

- хронические ишемические изменения с множественными хроническими инфарктами
- отсутствие избирательной гиппокампальной атрофии

Болезнь Крейтифельдта-Якоба (12)

- почти патогномоничная гиперинтенсивность глубокого серого вещества и кортикальная гиперинтенсивность в ДВИ
- отсутствие избирательной гиппокампальной атрофии

Болезнь Паркинсона

- отсутствие избирательной гиппокампальной атрофии
- при ПЭТ может быть неотличима

Фон

БА – наиболее частый тип деменции, который в настоящее время наблюдается более чем у 4 млн человек в одних только США. Патоморфологические отличительные признаки БА – прогрессирующее отложение невритических бляшек и нейрофибриллярных клубков, которое, как полагают, происходит за десятилетия до развития клинических симптомов. Патоморфологические изменения, типичные для БА, особенно нейрофибриллярные клубки, следуют предсказуемому распределению в различных стадиях болезни. Вначале нейрофибриллярные клубки появляются преимущественно в периринальной области височных долей (стадии I-II по Braak, клинически бессимптомная БА), затем - в лимбической системе (стадии III-IV по Braak, начальная БА), а на поздних стадиях болезни они поражают неокортекс (стадии V-VI по Вгаак, полностью развитая БА). Распознавание людей группы риска перед клиническим проявлением деменции стало диагностическим приоритетом благодаря возможности проведения раннего терапевтического вмешательства. Все чаще распознается перекрытие БА сосудистой деменцией.

ЛИТЕРАТУРА

- 1. Karow DS, McEvoy LK, Fennema-Notestine C, *et al.* Alzheimer's Disease Neuroimaging Initiative. Relative capability of MR imaging and FDG PET to depict changes associated with prodromal and early Alzheimer disease. *Radiology* 2010;256:932–42.
- 2. Ramani A, Jensen JH, Helpern J. Quantitative MR imaging in Alzheimer disease. *Radiology* 2006;241:26–44.
- 3. Spampinato MV, Rumboldt Z, Hosker RJ, et al. Apolipoprotein E and gray matter volume loss in patients with mild cognitive impairment and Alzheimer disease. Radiology 2011;258:843–52. 4. Braak H, Braak E. Evolution of neuronal changes in the course of Alzheimer's disease. J Neural Transm Suppl 1998;53:127–40. 5. McKhann G, Drachman D, Folstein M, et al. Clinical diagnosis of Alzheimer's disease: report of the NINCDS-ADRDA Work Group* under the auspices of Department of Health and Human Services Task Force on Alzheimer's Disease. Neurology 1984;34:939–44.

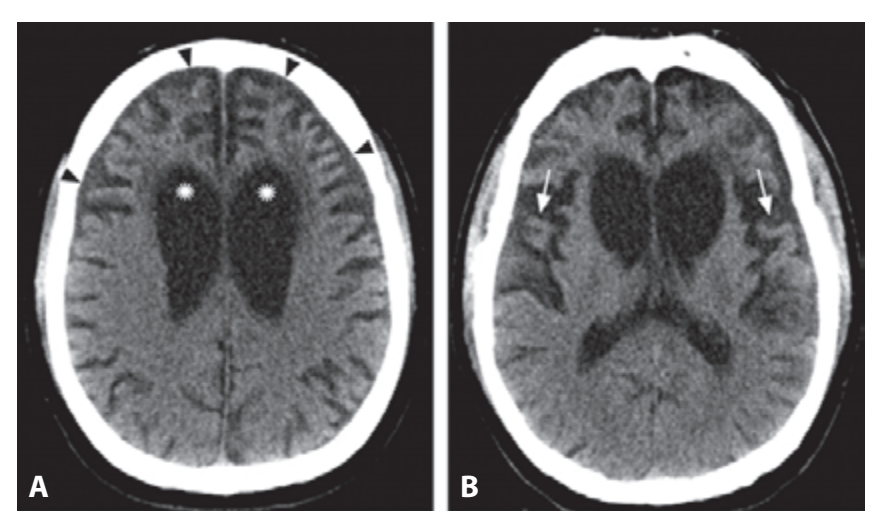


Рис. 1. Аксиальное КТ-изображение без контрастирования (A) у пациента в возрасте 64 лет с деменцией: выраженная двусторонняя атрофия лобных долей (головки стрелок). Кортикальные борозды очень широкие, также отмечается расширение боковых желудочков ex vacuo (звездочки). КТ-изображение на более низком уровне (B): атрофия височных долей (стрелки) в дополнение к потере объема паренхимы лобных долей.

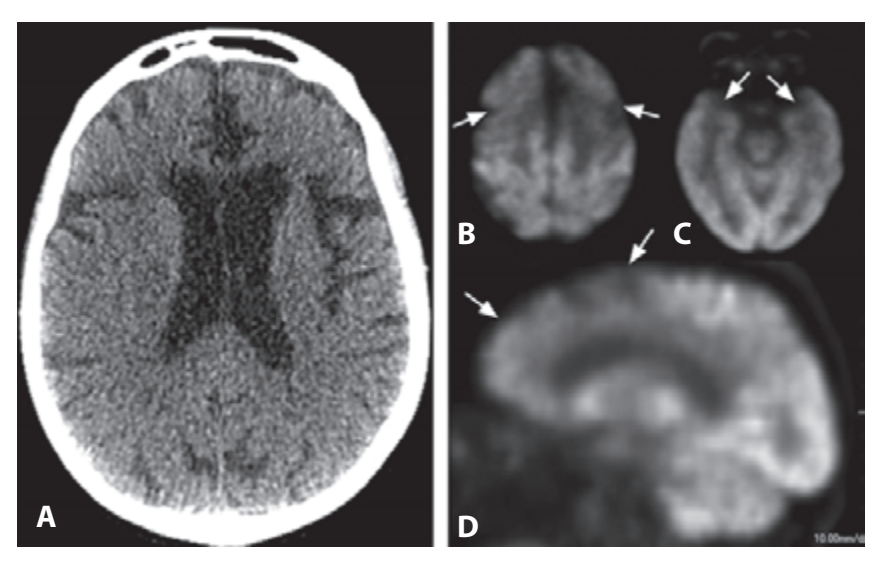


Рис. 2. Аксиальное КТ-изображение без контрастирования (А) у другого пациента с изменениями личности и импульсивным поведением. Небольшая потеря объема головного мозга без регионарного преобладания. Аксиальные (В, С) и сагиттальное (D) ФДГ-ПЭТ-изображения: сниженный метаболизм в лобных и височных долях (стрелки), которые выглядят менее яркими, чем другие супра-, а также инфратенториальные части головного мозга.

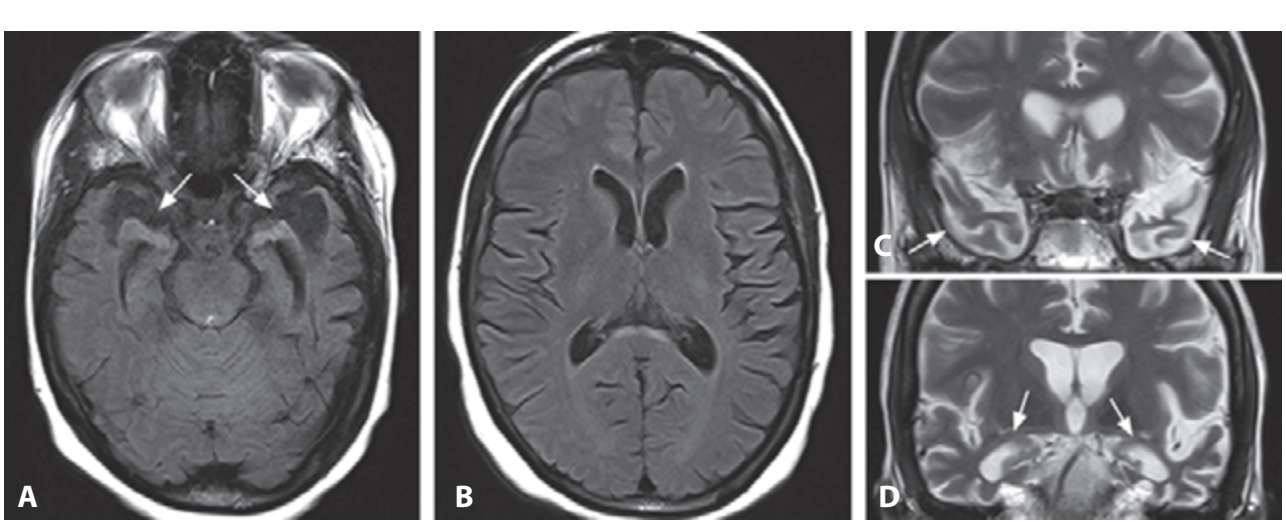


Рис. 3. Аксиальное FLAIR-изображение (A) у пациента с прогрессирующей дисфазией показывает выраженную атрофию передних отделов височных долей (*стрелки*). FLAIR-изображение на более высоком уровне (B): отсутствует атрофия лобных долей. Фронтальные Т2в-изображения (C, D) показывают выраженную атрофию височных долей (*стрелки*), в большей степени левой.

90

Лобно-височная лобарная дегенерация

MARIA VITTORIA SPAMPINATO

Специфические находки в изображениях

Роль изображений в оценке лобно-височной лобарной дегенерации (ЛВЛД) состоит в исключении других форм деменции, таких как болезнь Альцгеймера и сосудистая деменция. Для ЛВЛД типична избирательная атрофия передних височных и лобных долей с относительным сохранением затылочных и теменных долей. Поражение часто асимметричное: доминирующее полушарие поражается сильнее. Также может наблюдаться диффузная атрофия головного мозга. ПЭТ с ФДГ демонстрирует при ЛВЛД уменьшенный захват глюкозы в коре лобных и височных долей.

Клинические сведения

ЛВЛД - второй по частоте тип деменции у людей моложе 65 лет с распространенностью 15:100 000 в возрастном диапазоне 45-64 года. Это первичное нейродегенеративное заболевание, характеризующееся прогрессирующими изменениями поведения, нарушением исполнительных функций и дефектами речи с относительно сохраненной памятью в ранних стадиях. Различают 3 клинических подтипа ЛВЛД: 1) лобно-височная деменция, также известная как болезнь Пика, или лобный вариант – наиболее частая форма, характеризующаяся ранними изменениями личности, например апатией и безразличием, импульсивным поведением и растормаживанием, трудностями принятия решений; 2) семантическая деменция с ранним нарушением понимания значения слов, но с беглой речью; 3) прогрессирующая афазия с небеглой речью и аномией (первичная прогрессирующая афазия). Дифференциальный диагноз между болезнью Альцгеймера и ЛВЛД может быть трудным в ранних стадиях, и клиническое перекрытие этих заболеваний подчеркивает важность нейровизуализации вместе с нейропсихологическим тестированием.

Дифференциальный диагноз

Болезнь Гентингтона (91)

- двусторонняя атрофия хвостатых ядер и скорлупы без значительной кортикальной атрофии
- возможна двусторонняя Т2-гиперинтенсивность хвостатых ядер и скорлупы

Болезнь Альцгеймера (89)

- выраженная атрофия гиппокампов при МРТ
- снижение метаболизма в лобных и теменных долях (уменьшенный захват ФДГ при ПЭТ)
- отсутствие снижения метаболизма в передних частях лобных долей и в височных долях

Кортико-базальная дегенерация

 снижение метаболизма в базальных ганглиях, лобных и теменных долях

Сосудистая деменция

- хронические ишемические изменения с множественными хроническими инфарктами
- отсутствие значительной атрофии лобных и передних отделов височных долей

Болезнь Крейтифельдта-Якоба (12)

- почти патогномоничная гиперинтенсивность глубокого серого вещества и коры в ДВИ
- отсутствие значительной атрофии лобных и передних отделов височных долей

Фон

Типичные патологические черты ЛВЛД включают ограниченную лобарную атрофию с резкой границей между пораженным и непораженным участками головного мозга и относительное сохранение гиппокампов, если сравнивать с болезнью Альцгеймера. Эти синдромы охватывают большую группу патоморфологических проявлений, включая спонгиоформную дегенерацию и глиоз, классические тау-позитивные и убиквитин-позитивные цитоплазматические включения, известные как тела Пика, а также убиквитин-позитивные и тау-негативные включения с обнаружением последних у большинства пациентов. В семейных сериях с мутациями тау-генов (хромосома 17) отмечается сильное накопление тау в нейронах и клетках глии. У пациентов с ЛВЛД выявляется селективная атрофия передней части опоясывающих извилин, лобной части островков, субкаллезных извилин и полосатых тел, свидетельствующая о дегенерации паралимбической фронто-инсулярно-стриарной сети. Деление на 3 подтипа основано главным образом на характерных клинических симптомах, в то время как МРТ-находки согласуются с ними: преобладающая височная атрофия отличает семантическую деменцию от других двух подтипов. Более выраженная правосторонняя лобная атрофия подозрительна на лобно-височную деменцию, в то время как левосторонняя атрофия более характерна для прогрессирующей атрофии с небеглой речью. Ведение пациентов включает использование триады симптоматических медикаментозных средств и многосторонний подход, в том числе модификацию окружения и планирование долговременного ухода. Патоморфологически и клинически ЛВЛД перекрывается с прогрессирующим надъядерным параличом, кортико-базальной дегенерацией и боковым амиотрофическим склерозом. Средний срок выживаемости после постановки диагноза – около 10 лет.

ЛИТЕРАТУРА

- 1. Rabinovici GD, Seeley WW, Kim EJ, *et al.* Distinct MRI atrophy patterns in autopsy-proven Alzheimer's disease and frontotemporal lobar degeneration. *Am J Alzheimers Dis Other Demen* 2007–2008;22:474–88.
- 2. Ibach B, Poljansky S, Marienhagen J, *et al.* Contrasting metabolic impairment in frontotemporal degeneration and early onset Alzheimer's disease. *Neuroimage* 2004;23:739–43.
- 3. Lindberg O, Ostberg P, Zandbelt BB, *et al.* Cortical morphometric subclassification of frontotemporal lobar degeneration. *AJNR* 2009;30:1233–9.
- 4. Cairns NJ, Bigio EH, Mackenzie IR, *et al.* Neuropathologic diagnostic and nosologic criteria for frontotemporal lobar degeneration: consensus of the Consortium for Frontotemporal Lobar Degeneration. *Acta Neuropathol* 2007;114:5–22.
- Arvanitakis Z. Update on frontotemporal dementia. Neurologist 2010;16:16–22.

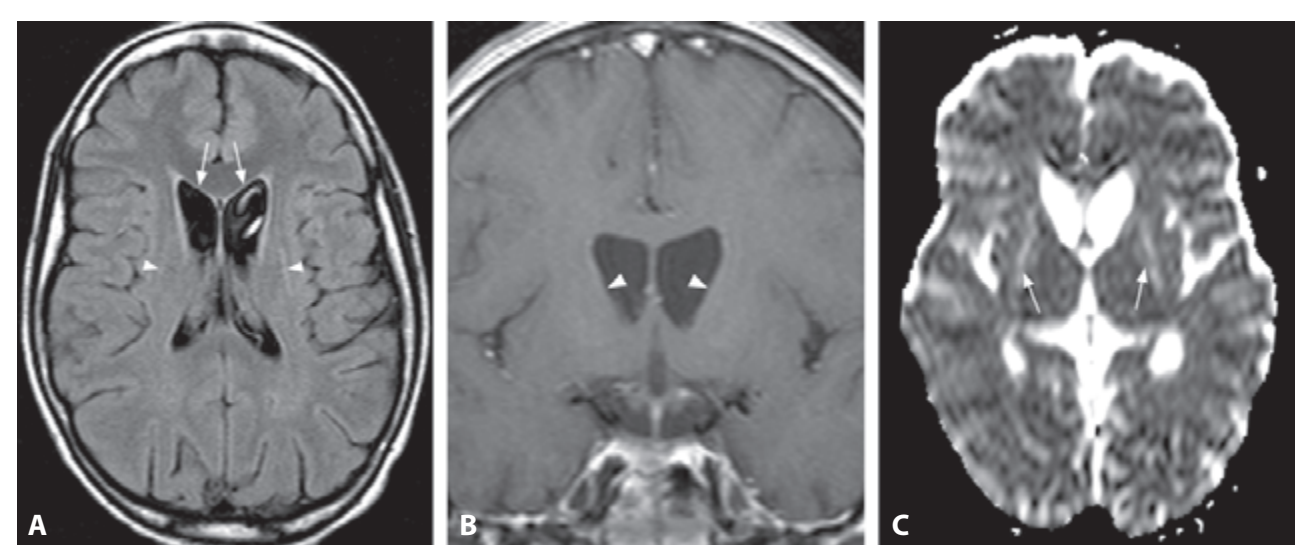


Рис. 1. Аксиальное FLAIR-изображение (A): увеличенные лобные рога (*стрелки*) боковых желудочков с выпрямленными латеральными контурами и без видимых прилежащих головок хвостатых ядер. Также отмечается очень маленькая скорлупа (*головки стрелок*). Т1в-изображение после контрастирования (B): увеличенные лобные рога с выпрямленными латеральными контурами (*головки стрелок*). Нет изменений сигнала и его патологического усиления. Аксиальная карта ADC (C) на слегка более низком уровне, чем FLAIR, показывает увеличенную диффузию в скорлупе с обеих сторон (*стрелки*).

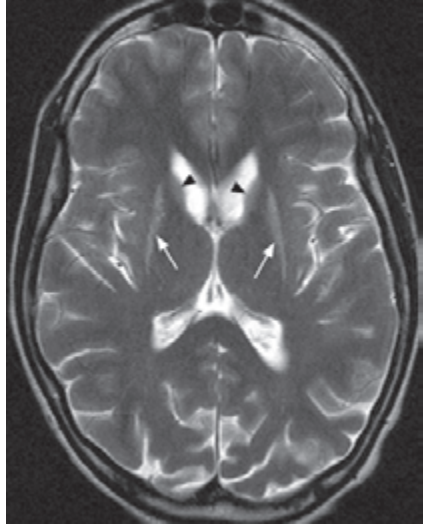


Рис. 2. Аксиальное Т2в-изображение у пациента в возрасте 17 лет. Уменьшенные размеры обоих хвостатых ядер (головки стрелок) и скорлупы (стрелки). Сопутствующая гиперинтенсивность этих структур, больше выраженная в скорлупе.

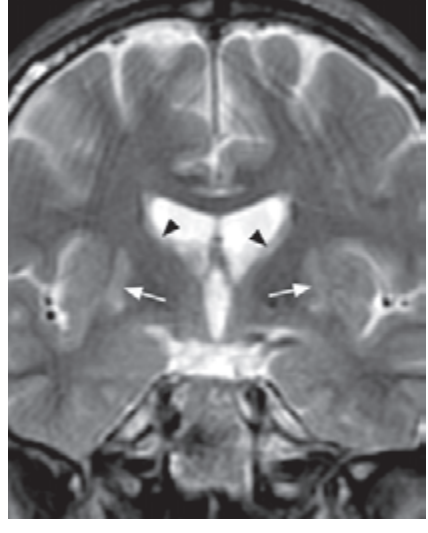


Рис. 3. Фронтальное Т2в-изображение у пациента во 2-м десятилетии жизни. Расширенные лобные рога с выпрямленными и слегка выпуклыми контурами (головки стрелок) прилежат к атрофическим хвостатым ядрам. Отмечаются также маленькие размеры и легкая гиперинтенсивность скорлупы с обеих сторон (стрелки).

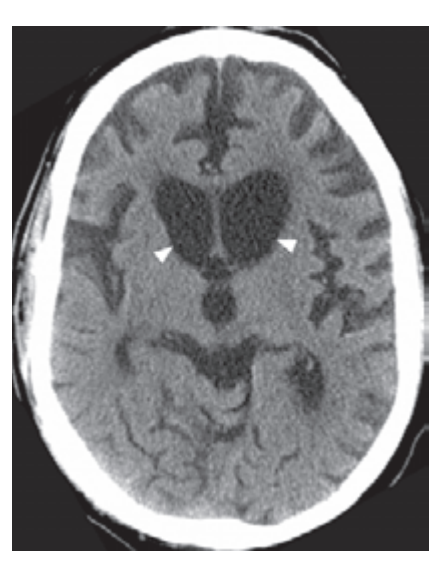


Рис. 4. КТ-изображение показывает картину развитого заболевания со значительной потерей объема головок хвостатых ядер и увеличенные лобные рога (головки стрелок) с некоторой выпуклостью контуров наружу. Отмечается диффузная атрофия, гораздо более выраженная в глубоком сером веществе.